

# PENERAPAN ALGORITMA FILTER UNTUK MENINGKATKAN AKURASI PEMBACAAN SENSOR SUHU MLX90614 PADA OBJEK DENGAN ELIMINASI PENGARUH SUHU LINGKUNGAN

Muh Hafid Alkarim<sup>1\*</sup>, Ipin Prasojo<sup>2</sup>, Setyo Adi Nugroho<sup>3</sup>, Eko Nugroho<sup>4</sup>

<sup>1,2,3,4</sup>Teknologi Rekayasa Elektromedis, Universitas Muhammadiyah PKU Surakarta

---

**Keywords:**

Sensor Suhu MLX90614;  
Filter Sinyal Digital;  
Mean Squared Error (MSE);  
Eliminasi Noise Lingkungan.

**Corespondent Email:**

012021050011@students.i  
tspku.ac.id

**Abstrak.** Sensor suhu memainkan peran penting dalam berbagai aplikasi, terutama dalam pengukuran suhu tubuh dan lingkungan. Salah satu sensor yang banyak digunakan adalah MLX90614, sensor inframerah non-kontak ini mudah digunakan, meskipun akurasinya dipengaruhi oleh suhu lingkungan dan jarak pengukuran. Penelitian ini bertujuan untuk meningkatkan akurasi pembacaan suhu dengan menerapkan beberapa algoritma filter, yaitu Low Pass, Exponential Moving Average (EMA), Moving Average, Median, dan Kalman Filter. Berdasarkan analisis menggunakan Mean Squared Error (MSE), Moving Average menunjukkan kinerja terbaik dengan MSE terendah sebesar 10.5634, diikuti oleh Median Filter (10.8855). Filter lainnya, seperti EMA dan Low Pass, memiliki MSE yang lebih tinggi (40.2701), sementara Kalman Filter menunjukkan MSE tertinggi (799.6851). Hasil penelitian ini menunjukkan bahwa Moving Average adalah filter paling efektif dalam mengeliminasi pengaruh suhu lingkungan dan jarak, sehingga dapat digunakan untuk meningkatkan akurasi pengukuran suhu menggunakan sensor MLX90614.

**Abstract.** Temperature sensors play an important role in a variety of applications, especially in the measurement of body and environmental temperature. One of the widely used sensors is MLX90614, this non-contact infrared sensor is easy to use, although its accuracy is affected by ambient temperature and measuring distance. This study aims to improve the accuracy of temperature readings by applying several filter algorithms, namely Low Pass, Exponential Moving Average (EMA), Moving Average, Median, and Kalman Filter. Based on the analysis using the Mean Squared Error (MSE), the Moving Average showed the best performance with the lowest MSE of 10.5634, followed by the Median Filter (10.8855). Other filters, such as EMA and Low Pass, have a higher MSE (40.2701), while Kalman Filter shows the highest MSE (799.6851). The results of this study indicate that the Moving Average is the most effective filter in eliminating the influence of ambient temperature and distance, so it can be used to improve the accuracy of temperature measurement using the MLX90614 sensor..

---

## 1. PENDAHULUAN

Sensor suhu merupakan salah satu perangkat penting dalam berbagai aplikasi, terutama dalam

pengukuran suhu tubuh dan lingkungan. Salah satu sensor yang banyak digunakan adalah MLX90614, yang merupakan sensor suhu

inframerah non-kontak [1]. Sensor ini memiliki keunggulan dalam hal kecepatan dan kemudahan penggunaan, namun akurasi pembacaannya dapat dipengaruhi oleh berbagai faktor, termasuk suhu lingkungan [2].

Dalam konteks pandemi *COVID-19*, pengukuran suhu tubuh secara akurat menjadi krusial untuk mencegah penyebaran virus [3]. Namun, tantangan muncul ketika pengukuran suhu terpengaruh oleh fluktuasi suhu lingkungan yang dapat menghasilkan pembacaan yang tidak konsisten [4]. Penerapan algoritma filter, seperti Kalman Filter atau Digital Moving Average Filter, telah terbukti efektif dalam mengurangi noise dan meningkatkan stabilitas data sensor [5] [6].

Selain itu pengaruh jarak terhadap pembacaan suhu merupakan faktor penting yang perlu dipertimbangkan dalam penggunaan sensor suhu [7]. Terutama tipe sensor inframerah [8] seperti MLX90614 beberapa menunjukkan bahwa jarak pengukuran dapat memengaruhi akurasi dan konsistensi pembacaan suhu [9]. Dalam beberapa studi, termasuk penelitian yang membandingkan sensor MLX90614 dengan termometer standar, ditemukan bahwa akurasi sensor cenderung menurun seiring dengan meningkatnya jarak pengukuran. Misalnya, pada jarak 3 hingga 5 cm, sensor MLX90614 menunjukkan rata-rata error yang rendah, tetapi pada jarak yang lebih jauh, seperti 6 hingga 7 cm, nilai error meningkat secara signifikan [10].

Penelitian ini bertujuan untuk menerapkan beberapa algoritma filter seperti *Low Pass*, *EMA*, *Moving Average*, *Median* dan *Kalman* pada pembacaan sensor MLX90614 agar dapat meningkatkan akurasi pengukuran suhu pada objek yang terpengaruh oleh suhu lingkungan serta eliminasi pengaruh jarak pembacaan. Dengan demikian, diharapkan hasil penelitian ini dapat memberikan kontribusi signifikan dalam pengembangan teknologi pengukuran suhu yang lebih akurat dan meminimalisir gangguan dari suhu lingkungan.

## 2. TINJAUAN PUSTAKA

### 2.1 ESP



Gambar 1 ESP32

ESP32 adalah *microcontroller* yang dikenalkan oleh Espressif System merupakan penerus dari *microcontroller* ESP8266. Perbedaan yang menjadi keunggulan *microcontroller* ESP32 dibanding dengan *microcontroller* yang lain, mulai dari pinout nya yang lebih banyak, pin analog lebih banyak, memori yang lebih besar, terdapat *bluetooth* 4.0 *low energy* serta tersedia *WiFi* [11].

### 2.2 MLX90614



Gambar 2 MLX90614

MLX90614 adalah sebuah termometer inframerah untuk pengukuran suhu non-kontak. Baik *chip* detektor *thermopile* sensitif IR dan *ASIC* pengkondisi sinyal terintegrasi dalam packing sensor model TO-39 yang sama. Pengkondisi sinyal yang terintegrasi ke dalam MLX90614 itu adalah *low noise amplifier*, 17-bit *ADC* dan unit *DSP* yang kuat sehingga mencapai akurasi dan resolusi tinggi dari termometer. Secara default dari pabrik, sensor dikalibrasi dengan output *SMBus* digital yang memberikan akses penuh ke suhu yang diukur dalam kisaran suhu dalam kisaran -20 hingga 120 ° C dengan resolusi 0,02 ° C [12]

### 2.3 LCD I2C 16x2



Gambar 3 LCD I2C 16x2

LCD I2C adalah Modul LCD (Liquid Crystal Display) yang dikendalikan secara serial sinkron dengan menggunakan protocol I2C/IIC (Inter Integrated Circuit) atau TWI (Two Wire Interface). LCD ini dapat berfungsi untuk menampilkan sesuatu berupa teks atau angka yang sudah di program dari mikrokontroller, LCD I2C ini mempunyai 4 kaki pin, pin GND atau Ground, pin VCC 5 volt, pin kontrol SCL dan pin kontrol SDA [13].

#### 2.4 Mean Squared Error

*Mean Squared Error* (MSE) adalah metrik statistik yang digunakan untuk mengukur rata-rata kuadrat selisih antara nilai yang diprediksi oleh model dan nilai aktual yang diamati [14]. MSE dihitung dengan menjumlahkan kuadrat dari setiap selisih antara prediksi dan observasi, kemudian membaginya dengan jumlah total observasi [15]. Secara matematis, MSE dirumuskan sebagai:

$$\text{MSE} = \frac{1}{n} \sum_{i=1}^n (Y_i - \hat{Y}_i)^2$$

Dimana  $Y_i$  adalah nilai aktual,  $\hat{Y}_i$  adalah nilai prediksi, dan  $n$  adalah jumlah observasi.

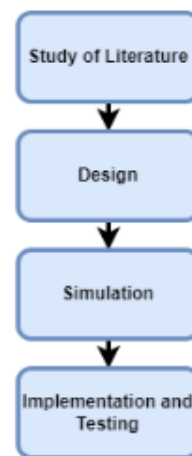
MSE memiliki beberapa karakteristik penting [16]:

- Sensitivitas terhadap Outlier: Karena kesalahan dikuadratkan, MSE memberikan penekanan yang lebih besar terhadap kesalahan besar, menjadikannya sensitif terhadap outlier.
- Penggunaan dalam Evaluasi Model: MSE sering digunakan untuk menilai akurasi model prediktif, seperti dalam regresi linier, di mana nilai MSE yang lebih rendah menunjukkan model yang lebih baik.
- Hubungan dengan Varians dan Bias: MSE dapat diuraikan menjadi *varians estimator* dan kuadrat dari biasnya, serta *trade-off*

antara kompleksitas model dan kesalahan prediksi.

### 3. METODE PENELITIAN

Metode yang digunakan dalam penelitian ini adalah metode eksperimen. Dalam metode ini, berbagai percobaan adalah dilakukan mengikuti landasan teori yang relevan [17]. Dalam implementasinya, berbagai desain, simulasi, dan pengujian dilakukan mengikuti kajian teoritis yang telah diperoleh. Hal ini dilakukan untuk mencapai tujuan awal penelitian ini. Langkah-langkah ini dapat diilustrasikan pada Gambar 4



Gambar 4 Research flow with the experimental method

Langkah pertama yang dilakukan adalah mengumpulkan informasi dari berbagai jurnal dan buku sebagai penunjang sebelum melakukan penelitian. Langkah kedua yaitu proses perancangan alat yang akan digunakan untuk pembacaan suhu memakai sensor MLX-90614. Langkah ketiga adalah tahap pembuatan alat, tahap ini terdiri dari pembuatan *hardware* secara langsung. Kemudian dilanjutkan ke tahap akhir yaitu pengujian alat menggunakan beberapa algoritma filter dalam berbagai kondisi suhu, jika alat sudah berjalan dengan baik maka dapat diambil analisis dari penelitian dan jika pada pengujian sistem pembacaan suhu masih belum berhasil maka akan kembali lagi ke tahap perancangan ulang. Tahap analisis dilakukan setelah melakukan pengujian sistem pembacaan suhu dan kemudian akan dilakukan pengambilan data sensor yang akan digunakan pada penelitian.

#### 3.1 Study Literature

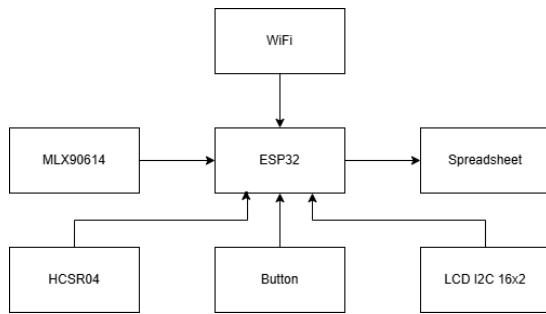
Pada tahap ini dilakukan berbagai kajian terhadap teori-teori yang diperlukan. Selain itu, kami telah melakukan pencarian terhadap penelitian yang terkait dengan penelitian ini sebagai pendukung dan juga membuat perbandingan dalam setiap penelitian untuk mendapatkan pembaruan dalam riset.

### 3.2 Design

Tahap selanjutnya adalah tahap desain. Pada tahap ini dilakukan perancangan rekayasa perangkat perangkat lunak. Rekayasa ini meliputi diagram blok sistem dan sirkuit sistem serta *Filter design*.

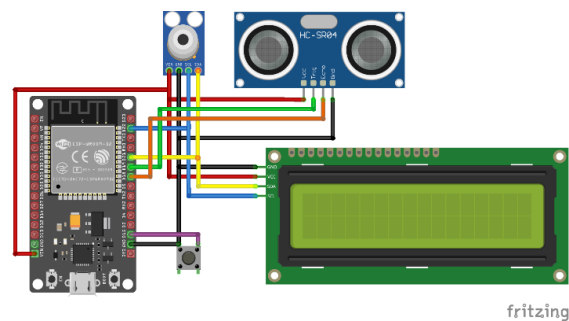
#### 3.2.1 Blok Diagram & Circuit System

Blok Diagram sistem ditunjukkan pada Gambar 5 merupakan sistem rangkaian yang memakai ESP32 sebagai *microcontroller*, *Button* sebagai input untuk memilih mode filter, MLX90614 sebagai input nilai suhu objek, HCSR04 sebagai input nilai jarak, LCD i2c 16x2 sebagai output untuk penampil data, serta semua data akan dikirim melalui WiFi ke Spreadsheet.



Gambar 5 Blok Diagram sistem

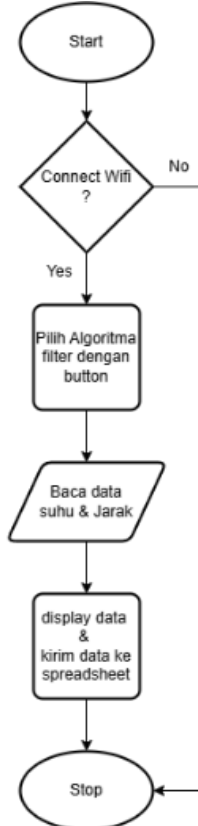
Adapun sirkuit sistem ialah ditunjukkan oleh Gambar 6 yang dimana ESP32 digunakan sebagai unit kontrol untuk sensor suhu, sensor jarak, *push button*, dan LCD. Pada ESP32 ini juga didalamnya akan dimasukan beberapa algoritma filter untuk dipilih dan nantinya hasil pembacaan suhu dan jarak akan dikirimkan kedalam Google Spreadsheet.



Gambar 6 Circuit System

#### 3.2.2 Flowchart

Flowchart atau alur kerja dari sistem ini adalah seperti Gambar 7 dibawah ini. Dimulai dari start pada saat menghidupkan alat kemudian terhubung ke WiFi dan memilih mode filter yang akan digunakan, kemudian suhu dan jarak akan terbaca serta langsung terdisplay pada LCD. Setelah itu data akan langsung diteruskan ke spreadsheet sebagai penampung nilai data sensor.



Gambar 7 Flowchart

#### 3.2.3 Filter Design

Beberapa design algoritma filter yang dipakai pada penelitian ini adalah:

### 3.2.3.1 Moving Average Filter

Metode *Moving Average Filter* merupakan salah satu teknik pemrosesan sinyal yang umum digunakan untuk menghaluskan data. Teknik ini bekerja dengan menghitung rata-rata dari sejumlah titik data dalam rentang waktu tertentu [18]. Menurut penelitian dari (F. R. G. Cruz, dkk) [19] metode ini menunjukkan keefektifan dalam mengurangi fluktuasi acak atau *noise* dalam sinyal. Secara matematis, output dari Moving Average Filter dapat dinyatakan sebagai:

$$\text{Output} = \frac{\sum_{i=1}^n \text{Input}_i}{n}$$

Di mana  $n$  merepresentasikan jumlah titik data yang digunakan dalam proses perataan. Prinsip dasar dari filter ini adalah mengambil nilai terbaru dari hasil pembacaan sensor secara berurutan, kemudian menghitung rata-ratanya [20].

### 3.2.3.2 Exponential Moving Average (EMA)

Filter ini memberikan bobot lebih besar pada pembacaan data yang paling baru, dibandingkan dengan nilai-nilai sebelumnya. Dengan demikian, perubahan terbaru dalam sinyal lebih cepat tercermin pada output filter [21]. Secara matematis, prinsip kerja filter ini dapat dinyatakan dengan persamaan berikut:

$$\text{Output} = \alpha \cdot \text{Input}_t + (1 - \alpha) \cdot \text{PreviousOutput}$$

Di mana:

- $\text{Output}_t$  adalah hasil filter pada waktu ke- $t$ ,
- $\text{Input}_t$  adalah nilai input terbaru,
- $\text{Output}_{t-1}$  adalah hasil filter sebelumnya,
- $\alpha$  adalah konstanta (*smoothing factor*) dengan rentang  $0 < \alpha \leq 1$

Nilai  $\alpha$  menentukan seberapa besar bobot yang diberikan pada data terbaru. Semakin besar nilai  $\alpha$ , maka respons filter terhadap perubahan nilai input akan semakin cepat, namun dengan konsekuensi meningkatnya sensitivitas terhadap *noise*. Sebaliknya, jika nilai  $\alpha$  yang lebih kecil maka akan menghasilkan output yang lebih stabil, tetapi

kurang responsif terhadap perubahan mendadak sinyal [22].

### 3.2.3.3 Median Filter

Median merupakan nilai yang terletak di tengah dari sekumpulan data setelah data tersebut diurutkan secara berurutan. Jika jumlah data ganjil, median adalah nilai yang berada tepat di posisi tengah; sedangkan jika jumlah data genap, median dihitung sebagai rata-rata dari dua nilai tengah tersebut [23]. Dalam konteks pemrosesan sinyal, prinsip ini digunakan pada Median Filter, yaitu teknik penyaringan yang memilih nilai tengah dari sejumlah pembacaan sensor [24]. Tujuan utamanya adalah untuk menghilangkan *outlier* atau gangguan data yang dapat memengaruhi akurasi sinyal. Proses filtering dilakukan dengan mengurutkan sejumlah  $n$  nilai pembacaan, lalu mengambil nilai yang berada di posisi tengah sebagai output yang dianggap mewakili kondisi sebenarnya [25].

### 3.2.3.4 Low Pass Filter (LPF)

Filter ini merupakan jenis filter yang dirancang untuk melewatkkan sinyal dengan frekuensi rendah dan meredam sinyal dengan frekuensi tinggi [26]. Filter ini sangat berguna dalam mengurangi noise atau fluktuasi cepat pada data, sehingga menghasilkan sinyal yang lebih halus dan stabil [27]. Secara matematis, LPF dapat direpresentasikan dengan persamaan:

$$\text{Output} = \text{PreviousOutput} + \frac{\Delta t}{RC + \Delta t} \times (\text{Input} - \text{PreviousOutput})$$

Konstanta waktu RC menentukan seberapa cepat filter merespons perubahan pada sinyal input. Nilai RC yang besar menyebabkan respons filter menjadi lebih lambat terhadap perubahan mendadak, sehingga cocok untuk aplikasi yang memerlukan penyaringan sinyal dengan perubahan lambat. Sebaliknya, nilai RC yang kecil membuat filter lebih responsif terhadap perubahan cepat, namun dapat melewatkkan lebih banyak noise [28].

### 3.2.3.5 Kalman Filter

Kalman Filter adalah algoritma matematis yang digunakan untuk memperkirakan keadaan sistem dinamis dari serangkaian pengukuran yang memiliki noise dan ketidakpastian [29]. Kalman Filter sering digunakan untuk menyaring data dari sensor agar lebih akurat [30]. Rumus matematis [31] :

$$\text{Kalman Gain : } K = \frac{P}{P+R}$$

$$\text{Estimate : } \hat{X}_k = \hat{X}_{k-1} + K(Z_k - \hat{X}_{k-1})$$

$$\text{Error Covariance : } P = (1-K)P + Q$$

Penjelasan:

- P adalah estimasi variansi kesalahan.
- Q adalah noise proses.
- R adalah noise pengukuran.

### 3.3 Simulation

Pada tahap simulasi dilakukan berbagai eksperimen yang berkaitan dengan program. Program untuk algoritma filter pada pembacaan suhu di-debug dan disimulasikan menggunakan LCD dan spreadsheet. Nilai yang dihasilkan oleh sensor suhu ini nantinya dilakukan sebuah analisa. Pengujian pembacaan suhu akan dilakukan terhadap sebuah pemanas.

### 3.4 Implementation and Testing

Pada tahap implementasi dan pengujian ini semua elemen penelitian ini digabungkan dimana ESP32 sebagai microcontroller dikomunikasikan dengan Modul MLX90614 dan HCSR04 serta LCD I2C 16x2. Selanjutnya, semuanya dijalankan sesuai dengan skenario tujuan awal. Proses pengujian pada tahap ini dilakukan secara parsial dan secara keseluruhan sesuai dengan skenario tujuan awal penelitian. Pengujian alat bertujuan untuk mengetahui apakah serangkaian alat yang telah dirancang dapat bekerja sesuai yang diharapkan untuk sistem yang akan diujikan pada elemen pemanas untuk dibaca uhunya.

## 4. HASIL DAN PEMBAHASAN

Pengujian penerapan algoritma filter pada sensor suhu MLX90614 bertujuan untuk meningkatkan akurasi pembacaan suhu objek dengan mengeliminasi pengaruh suhu lingkungan. Hasil pengujian menunjukkan

efektivitas algoritma dalam menyaring data, sehingga dapat mengurangi noise dan bias yang berasal dari fluktuasi suhu sekitar. Analisis hasil dilakukan dengan membandingkan data suhu yang diperoleh sebelum dan sesudah penerapan algoritma filter, serta mengevaluasi tingkat akurasi berdasarkan referensi suhu standar. Adapun hasil dari design keseluruhan alat ditunjukan pada Gambar 8 dibawah ini



Gambar 8 Hasil Design Alat

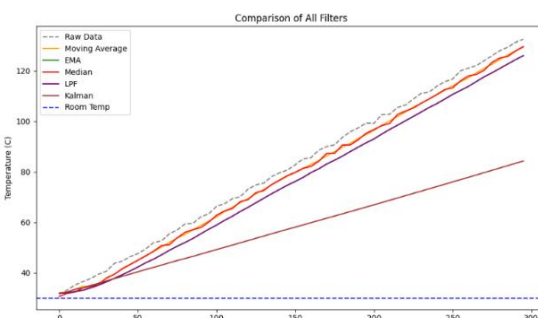
### 4.1 Hasil dari Raw dan Algoritma Filter

Pengujian ini dilakukan pada suhu ruang stabil di 30°C dengan jarak pada 20 Cm dari plat pemanas atau plat pemanas dari oven. Oven diatur dengan kenaikan suhu awal 31 °C dan suhu maksimal 133 °C pada rentang waktu 0-5 menit. Kemudian data pembacaan sensor akan disimpan kedalam spreadsheet berulang dalam waktu 5 detik sekali dan menghasilkan nilai yaitu pada tabel 1 berikut ini.

Tabel 1 Hasil Pengujian

| Jarak | Time | Room Temp | Raw Temp | MA Temp | EMA Temp | Median Temp | LPF Temp | Kalman Temp |
|-------|------|-----------|----------|---------|----------|-------------|----------|-------------|
| 20    | 0    | 30        | 31.972   | 31.907  | 31.972   | 30.679      | 31.972   | 31.972      |
| 20    | 5    | 30        | 32.389   | 32.527  | 32.055   | 31.907      | 32.055   | 32.351      |
| 20    | 10   | 30        | 34.751   | 33.433  | 32.594   | 32.389      | 32.594   | 33.494      |
| 20    | 15   | 30        | 35.212   | 34.725  | 33.118   | 34.048      | 33.118   | 34.048      |
| 20    | 20   | 30        | 37.998   | 34.462  | 34.092   | 34.751      | 34.092   | 35.010      |
| 20    | 25   | 30        | 39.443   | 35.957  | 35.162   | 35.212      | 35.162   | 35.879      |
| 20    | 30   | 30        | 41.633   | 37.805  | 36.456   | 37.988      | 36.456   | 36.824      |
| 20    | 35   | 30        | 43.344   | 39.524  | 37.834   | 39.443      | 37.834   | 37.743      |
| 20    | 40   | 30        | 44.978   | 41.477  | 39.263   | 41.633      | 39.263   | 38.638      |
| 20    | 45   | 30        | 46.712   | 42.222  | 40.753   | 43.344      | 40.753   | 39.527      |
| 20    | 50   | 30        | 48.695   | 46.055  | 42.323   | 44.978      | 42.323   | 40.429      |
| 20    | 55   | 30        | 50.822   | 48.892  | 44.023   | 46.712      | 44.023   | 41.368      |
| 20    | 60   | 30        | 51.151   | 48.454  | 45.449   | 48.605      | 45.449   | 42.180      |
| 20    | 65   | 30        | 53.908   | 50.240  | 47.141   | 50.822      | 47.141   | 43.080      |
| 20    | 70   | 30        | 56.068   | 52.111  | 48.926   | 51.151      | 48.926   | 44.007      |
| 20    | 75   | 30        | 57.108   | 53.812  | 50.562   | 53.908      | 50.562   | 44.880      |
| 20    | 80   | 30        | 57.937   | 55.239  | 52.037   | 56.068      | 52.037   | 45.698      |
| 20    | 85   | 30        | 60.088   | 57.022  | 53.647   | 57.108      | 53.647   | 46.547      |
| 20    | 90   | 30        | 62.815   | 58.803  | 55.481   | 57.937      | 55.481   | 47.454      |
| 20    | 95   | 30        | 64.527   | 60.495  | 57.290   | 60.088      | 57.290   | 48.358      |
| 20    | 100  | 30        | 65.428   | 62.159  | 58.918   | 62.815      | 58.918   | 49.218      |
| 20    | 105  | 30        | 68.186   | 64.209  | 60.771   | 64.527      | 60.771   | 50.129      |
| 20    | 110  | 30        | 69.020   | 65.998  | 62.421   | 65.428      | 62.421   | 50.997      |
| 20    | 115  | 30        | 71.744   | 67.781  | 64.286   | 68.184      | 64.286   | 51.910      |
| 20    | 120  | 30        | 72.615   | 69.399  | 65.952   | 69.020      | 65.952   | 52.785      |
| 20    | 125  | 30        | 74.961   | 71.305  | 67.753   | 71.744      | 67.753   | 53.686      |
| 20    | 130  | 30        | 76.717   | 73.011  | 69.546   | 72.615      | 69.546   | 54.587      |
| 20    | 135  | 30        | 78.507   | 74.909  | 71.338   | 74.961      | 71.338   | 55.490      |
| 20    | 140  | 30        | 79.813   | 76.523  | 73.033   | 76.717      | 73.033   | 56.377      |
| 20    | 145  | 30        | 81.433   | 78.286  | 74.713   | 78.507      | 74.713   | 57.281      |
| 20    | 150  | 30        | 82.105   | 79.715  | 76.192   | 79.813      | 76.192   | 58.110      |
| 20    | 155  | 30        | 84.237   | 81.219  | 77.801   | 81.433      | 77.801   | 58.976      |
| 20    | 160  | 30        | 87.292   | 82.976  | 79.699   | 82.108      | 79.699   | 59.886      |
| 20    | 165  | 30        | 87.287   | 84.471  | 81.216   | 84.237      | 81.216   | 60.743      |
| 20    | 170  | 30        | 90.619   | 86.308  | 83.097   | 87.287      | 83.097   | 61.651      |
| 20    | 175  | 30        | 90.647   | 88.014  | 84.607   | 87.292      | 84.607   | 62.510      |
| 20    | 180  | 30        | 92.694   | 89.708  | 86.224   | 90.619      | 86.224   | 63.380      |
| 20    | 185  | 30        | 95.252   | 91.300  | 88.030   | 90.647      | 88.030   | 64.277      |
| 20    | 190  | 30        | 96.748   | 93.192  | 89.773   | 92.699      | 89.773   | 65.168      |
| 20    | 195  | 30        | 98.292   | 94.726  | 91.477   | 95.252      | 91.477   | 66.056      |
| 20    | 200  | 30        | 99.153   | 96.428  | 93.012   | 96.748      | 93.012   | 66.924      |
| 20    | 205  | 30        | 102.730  | 98.435  | 94.956   | 98.292      | 94.956   | 67.842      |
| 20    | 210  | 30        | 104.039  | 100.192 | 96.772   | 99.153      | 96.772   | 68.750      |
| 20    | 215  | 30        | 105.233  | 101.889 | 98.465   | 102.730     | 98.465   | 69.647      |
| 20    | 220  | 30        | 107.110  | 103.653 | 100.194  | 104.039     | 100.194  | 70.549      |
| 20    | 225  | 30        | 108.808  | 105.584 | 101.916  | 105.233     | 101.916  | 71.452      |
| 20    | 230  | 30        | 110.621  | 107.162 | 103.657  | 107.110     | 103.657  | 72.359      |
| 20    | 235  | 30        | 112.563  | 108.867 | 105.438  | 108.808     | 105.438  | 73.273      |
| 20    | 240  | 30        | 113.239  | 110.468 | 106.999  | 110.621     | 106.999  | 74.165      |
| 20    | 245  | 30        | 115.990  | 112.244 | 108.797  | 112.563     | 108.797  | 75.082      |
| 20    | 250  | 30        | 117.963  | 114.075 | 110.630  | 113.239     | 110.630  | 76.006      |
| 20    | 255  | 30        | 118.524  | 115.656 | 112.209  | 115.990     | 112.209  | 76.907      |
| 20    | 260  | 30        | 120.179  | 117.179 | 113.803  | 117.963     | 113.803  | 77.809      |
| 20    | 265  | 30        | 123.304  | 119.192 | 115.703  | 118.524     | 115.703  | 78.743      |
| 20    | 270  | 30        | 125.057  | 121.005 | 117.574  | 120.179     | 117.574  | 79.679      |
| 20    | 275  | 30        | 125.673  | 122.547 | 119.194  | 123.304     | 119.194  | 80.594      |
| 20    | 280  | 30        | 127.814  | 124.405 | 120.918  | 125.057     | 120.918  | 81.520      |
| 20    | 285  | 30        | 129.643  | 126.298 | 122.663  | 125.673     | 122.663  | 82.450      |
| 20    | 290  | 30        | 131.322  | 127.902 | 124.395  | 127.814     | 124.395  | 83.381      |
| 20    | 295  | 30        | 132.126  | 129.316 | 125.998  | 129.643     | 125.998  | 84.292      |

Kemudian data divisualisasikan memakai sebuah grafik untuk memudahkan dalam melihat kenaikan data suhu yang akan dianalisis. Grafik dari hasil pengukuran dapat dilihat pada Gambar 9 berikut ini



Gambar 9 Grafik Hasil Pengukuran

Dapat diamati bahwa nilai Raw data suhu tanpa filter paling rendah ialah 31,972 °C dan mengalami kenaikan hingga mencapai puncak 132,126°C. Kemudian data suhu dengan Moving average memiliki nilai terendah yaitu 31,907 °C dan tertinggi pada 129,316 °C. Selanjutnya data suhu dengan EMA filter

memiliki nilai terendah yaitu 31,972 °C dan tertinggi pada 125,998 °C. Kemudian data suhu dengan Median filter memiliki nilai terendah yaitu 30,679 °C dan tertinggi pada 129,643. Selanjutnya ialah menggunakan LPF filter menghasilkan nilai terendah yaitu 31,972 °C dan nilai tertinggi pada 125,998 °C. Dan yang terakhir ialah Kalman filter menghasilkan nilai terendah 31,972 °C dan nilai tertinggi ialah 84,292°C

## 4.2 Analisis

Selanjutnya untuk menentukan filter terbaik dalam mengeliminasi suhu ruang berdasarkan hasil Mean Squared Error (MSE), kita perlu memilih filter dengan nilai MSE terendah. Berikut adalah langkah-langkah dan rumus yang digunakan:

### 4.2.1 Rumus Mean Squared Error (MSE):

Mean Squared Error dihitung dengan rumus:

$$MSE = \frac{1}{n} \sum_{i=1}^n (y_i - \hat{y}_i)^2$$

Di mana:

- $y_i$  = nilai aktual
- $\hat{y}_i$  = nilai hasil filter
- $n$  = jumlah data

### 4.2.2 Interpretasi Nilai MSE

Semakin kecil nilai MSE, semakin baik performa filter dalam mendekati nilai aktual.

### 4.2.3 Hasil Perhitungan

Perhitungan dalam penelitian ini dilakukan menggunakan *Jupyter Lab*, sebuah platform berbasis *Python* yang umum digunakan dalam analisis data, statistik, dan pengembangan algoritma pembelajaran mesin (*machine learning*). *Jupyter Lab* menyediakan lingkungan interaktif yang memungkinkan integrasi kode, visualisasi, dan dokumentasi secara bersamaan, sehingga sangat mendukung proses eksplorasi dan pengolahan data secara efisien. Untuk menghitung nilai *Mean Squared Error* (MSE) sebagai metrik evaluasi akurasi prediksi, digunakan *library sklearn.metrics*, yang merupakan bagian dari *modul Scikit-Learn*. Fungsi `mean_squared_error()` dari *library* ini digunakan untuk membandingkan antara data aktual dan hasil prediksi model, dengan sintaks sebagai berikut:

```

import numpy as np
import pandas as pd
import matplotlib.pyplot as plt
from sklearn.metrics import
mean_squared_error
file_path = "Dat Filter.xlsx" # Ganti dengan
path file Excel Anda
data = pd.read_excel(file_path)
data = data.dropna()
required_columns = ['Jarak', 'Time', 'Room
Temp', 'Raw Temp', 'MA Temp', 'EMA Temp',
'Median Temp', 'LPF Temp', 'Kalman Temp']
ma_temp = data['MA Temp'].values
ema_temp = data['EMA Temp'].values
median_temp = data['Median Temp'].values
lpf_temp = data['LPF Temp'].values
kalman_temp = data['Kalman Temp'].values
mse_ma = mean_squared_error(true_values,
ma_temp)
mse_ema = mean_squared_error(true_values,
ema_temp)
mse_median =
mean_squared_error(true_values,
median_temp)
mse_lpf = mean_squared_error(true_values,
lpf_temp)
mse_kalman =
mean_squared_error(true_values,
kalman_temp)
mse_values = {
    "Moving Average": mse_ma,
    "Exponential Moving Average": mse_ema,
    "Median Filter": mse_median,
    "Low-Pass Filter": mse_lpf,
    "Kalman Filter": mse_kalman,
}
best_filter = min(mse_values,
key=mse_values.get)
print(f"\nFilter terbaik untuk mengeliminasi
suhu ruang adalah: {best_filter}")

```

Ketika program dijalankan maka akan muncul hasil rekomendasi filter terbaik. Hasil compile dapat dilihat pada Gambar 7 berikut ini

```

Mean Squared Error (MSE):
Moving Average: 10.5634
Exponential Moving Average: 40.2701
Median Filter: 10.8855
Low-Pass Filter: 40.2701
Kalman Filter: 799.6851

Filter terbaik untuk mengeliminasi suhu ruang adalah: Moving Average

```

Gambar 1 Hasil MSE

Hasil tersebut menunjukkan bahwa Moving Average adalah filter terbaik untuk mengeliminasi suhu ruang pada sensor MLX80614 dengan nilai MSE terendah sebesar 10.5634. Hal ini menunjukkan bahwa Moving Average memiliki kemampuan terbaik dalam menghasilkan nilai yang

10.5634. Hal ini dapat divalidasi ulang dengan cara dihitung memakai rumus Mean Squared Error seperti dibawah ini :

#### Moving Average:

$$\text{MSE} = \frac{1}{n} ((31,972 - 31,907)^2 + (32,389 - 32,527)^2 + \dots)$$

$$\text{MSE} = 10.5634$$

#### Exponential Moving Average:

$$\text{MSE} = \frac{1}{n} ((31,972 - 31,972)^2 + (32,389 - 32,055)^2 + \dots)$$

$$\text{MSE} = 40.2701$$

#### Median Filter:

$$\text{MSE} = \frac{1}{n} ((31,972 - 30,679)^2 + (32,389 - 31,907)^2 + \dots)$$

$$\text{MSE} = 10.8855$$

#### Low-Pass Filter:

$$\text{MSE} = \frac{1}{n} ((31,972 - 31,972)^2 + (32,389 - 32,055)^2 + \dots)$$

$$\text{MSE} = 40.2701$$

#### Kalman Filter:

$$\text{MSE} = \frac{1}{n} ((31,972 - 31,972)^2 + (32,389 - 32,251)^2 + \dots)$$

$$\text{MSE} = 799.6851$$

## 5. KESIMPULAN

Berdasarkan analisis menggunakan metode Mean Squared Error (MSE), berikut adalah hasil MSE untuk setiap algoritma filter yang diuji dalam mengeliminasi suhu ruang pada sensor MLX80614:

- A. Moving Average: 10.5634
- B. Exponential Moving Average: 40.2701
- C. Median Filter: 10.8855
- D. Low-Pass Filter: 40.2701
- E. Kalman Filter: 799.6851

Dari hasil analisis tersebut, dapat disimpulkan bahwa Moving Average adalah filter terbaik untuk mengeliminasi suhu ruang pada sensor MLX80614 dengan nilai MSE terendah sebesar 10.5634. Hal ini menunjukkan bahwa Moving Average memiliki kemampuan terbaik dalam menghasilkan nilai yang

mendekati suhu aktual, menjadikannya pilihan yang paling efektif dan akurat dibandingkan dengan algoritma filter lainnya.

## UCAPAN TERIMA KASIH

Penulis mengucapkan terima kasih kepada pihak-pihak terkait yang telah memberi dukungan terhadap penelitian ini.

## DAFTAR PUSTAKA

- [1] I. H. Tanjung, "Termometer Non Contact Menggunakan Sensor Suhu Infrared MLX90614 Sebagai Pengukur Suhu Tubuh Berbasis SMS GateWay," *IJEERE: Indonesian Journal of Electrical Engineering and Renewable Energy*, vol. 2, no. 1, pp. 19–28, Jul. 2022, doi: 10.57152/ijeere.v2i1.176.
- [2] T. Hidayat, S. Riki Mustafa, and Basorudin, "Bilik Sistem Pengukuran Suhu Tubuh Dan Semprotan Hand Sanitizer Otomatis Menggunakan Sensor Suhu Mlx90614," *Riau Jurnal Teknik Informatika*, vol. 3, no. 2, pp. 34–38, Jul. 2024, doi: 10.61876/rjti.v3i2.2881.
- [3] A. Ismamudi and W. Pramusinto, "PENERAPAN NODEMCU DAN SENSOR SUHU MLX90614 UNTUK HAND SANITIZER OTOMATIS BERBASIS IOT," *SKANIKA*, vol. 6, no. 1, pp. 1–11, Jan. 2023, doi: 10.36080/skanika.v6i1.2995.
- [4] A. H. Kuspranoto and M. Ulin Nuha ABA, "PENERAPAN DIGITAL MOVING AVERAGE FILTER PADA SKIN SENSOR INFANT WARMER UNTUK MENGIKUR SUHU," *MEDIKA TRADA*, vol. 5, no. 2, pp. 58–65, Dec. 2024, doi: 10.59485/jtemp.v5i2.93.
- [5] A. S. Fiddariani and B. Sumanto, "Studi Penerapan Filter Digital pada Sistem Pemantau Parameter di Kolam Ikan," *Jurnal Listrik, Instrumentasi, dan Eletronika Terapan*, vol. 5, no. 1, p. 30, Apr. 2024, doi: 10.22146/juliet.v5i1.87377.
- [6] M. Y. Baihaqi and W. Wijaya, "Penerapan Filter Kalman untuk Meningkatkan Akurasi dan Presisi Sensor Suhu LM35," *KONSTELASI: Konvergensi Teknologi dan Sistem Informasi*, vol. 1, no. 1, pp. 93–101, Apr. 2021, doi: 10.24002/konstelasi.v1i1.4282.
- [7] D. B. Nugroho, M. Dirayati, D. Y. L. Silaban, R. Oktavia, and O. F. Purba, "Analisis Pengaruh Jarak Elektrode terhadap Kinerja Sensor IDE Berlapis Grafit untuk Mengukur Suhu," *Jurnal Teori dan Aplikasi Fisika*, vol. 12, no. 02, Jul. 2024, doi: 10.23960/jtaf.v12i02.429.
- [8] L. Wang, H.-B. Tao, H. Dong, Z.-B. Shao, and F. Wang, "A Non-Linear Temperature Compensation Model for Improving the Measurement Accuracy of an Inductive Proximity Sensor and Its Application-Specific Integrated Circuit Implementation," *Sensors*, vol. 20, no. 17, p. 5010, Sep. 2020, doi: 10.3390/s20175010.
- [9] I. Paramudita, T. A. Wahyu Wijanarko, A. P. Amanda, and P. Bakti, "PENGARUH JARAK UKUR DAN JENIS TERMOMETER INFRAMERAH PADA HASIL PENGUKURAN SUHU TUBUH SEBAGAI SKRINING AWAL COVID-19," *Jurnal Standardisasi*, vol. 23, no. 2, p. 133, Jul. 2021, doi: 10.31153/js.v23i2.884.
- [10] W. O. S. N. Alam, A. N. Aliansyah, F. E. Larobu, L. Mulyawati, A. Asminar, and I. Galugu, "Tingkat akurasi Sensor AMG8833 dan Sensor MLX90614 dalam Mengukur Suhu Tubuh," *JTEV (Jurnal Teknik Elektro dan Vokasional)*, vol. 8, no. 1, p. 169, May 2022, doi: 10.24036/jtev.v8i1.114543.
- [11] A. Imran and M. Rasul, "PENGEMBANGAN TEMPAT SAMPAH PINTAR MENGGUNAKAN ESP32," 2020.
- [12] M. O. Sibuea, "Pengukuran suhu dengan sensor suhu inframerah MLX90614 berbasis Arduino," 2019.
- [13] S. A. Nugroho, S. Aprilia, F. Anindyahadi, and N. S. Budi, "PERANCANGAN ALAT UKUR KADAR pH DAN SUHU AIR BERBASIS ARDUINO UNO," *Jurnal Informatika dan Teknik Elektro Terapan*, vol. 13, no. 2, Apr. 2025, doi: 10.23960/jitet.v13i2.6398.
- [14] Y. Ju, B. Wahlberg, and H. Hjalmarsson, "Excess Mean Squared Error of Empirical Bayes Estimators," Mar. 2025, [Online]. Available: <http://arxiv.org/abs/2503.11863>
- [15] S. Bernard, J. Wang, and M. Fuge, "DETC2022-90065 MEAN SQUARED ERROR MAY LEAD YOU ASTRAY WHEN OPTIMIZING YOUR INVERSE DESIGN METHODS," 2022.
- [16] P. Vos, "Rethinking Mean Square Error: Why Information is a Superior Assessment of Estimators," Dec. 2024, [Online]. Available: <http://arxiv.org/abs/2412.08475>
- [17] M. F. Wicaksono, S. Syahrul, and M. Dwi Rahmatya, "Development of Laboratory Equipment Inventory System Using Radio Frequency and Internet of Things," *Jurnal Ilmiah Teknik Elektro Komputer dan Informatika*, vol. 7, no. 2, p. 249, Aug. 2021, doi: 10.26555/jiteki.v7i2.21114.
- [18] S. Makridakis and S. C. Wheelwright, "Adaptive Filtering: An Integrated Autoregressive/Moving Average Filter for

- Time Series Forecasting,” *Journal of the Operational Research Society*, vol. 28, no. 2, pp. 425–437, Jul. 1977, doi: 10.1057/jors.1977.76.
- [19] F. R. G. Cruz, C. C. Paglinawan, C. N. V. Catindig, J. C. B. Lamchek, D. D. C. Almiranez, and A. F. Sanchez, “Photoplethysmography Circuit Design for Peak-to-Peak Voltage Monitoring via Arduino Uno with Moving Average Filter,” in *Proceedings of the 2019 9th International Conference on Biomedical Engineering and Technology*, New York, NY, USA: ACM, Mar. 2019, pp. 6–12. doi: 10.1145/3326172.3326191.
- [20] Amneh A. Al-Mbaideen, “Application of Moving Average Filter for the Quantitative Analysis of the NIR Spectra,” *Journal of Analytical Chemistry*, vol. 74, no. 7, pp. 686–692, Jul. 2019, doi: 10.1134/S1061934819070013.
- [21] Amneh A. Al-Mbaideen, “Application of Moving Average Filter for the Quantitative Analysis of the NIR Spectra,” *Journal of Analytical Chemistry*, vol. 74, no. 7, pp. 686–692, Jul. 2019, doi: 10.1134/S1061934819070013.
- [22] M. R. Abujiya, M. H. Lee, and M. Riaz, “Improving the Performance of Exponentially Weighted Moving Average Control Charts,” *Qual Reliab Eng Int*, vol. 30, no. 4, pp. 571–590, Jun. 2014, doi: 10.1002/qre.1509.
- [23] M. I. Al-arrafi, A. Nurdiansyah, and A. Ramadhanu, “Optimalisasi Metode Median Filter untuk Mereduksi Noise pada Citra Kematangan Buah Jambu Madu,” *Journal of Education Research*, vol. 5, no. 4, pp. 5954–5958, Dec. 2024, doi: 10.37985/jer.v5i4.1858.
- [24] L. A. Kusumo, “Implementation of Median Filter in Data Processing of Temperature and Humidity Monitoring System with DHT 11 and DHT 22 Sensors,” *Sistem Kendali & Jaringan) E-ISSN*, vol. 4, pp. 2808–3520, 2025, doi: 10.58982/krisnadana.v4i2.723.
- [25] S. Dey, R. Bhattacharya, F. Schwenker, and R. Sarkar, “Median Filter Aided CNN Based Image Denoising: An Ensemble Approach,” *Algorithms*, vol. 14, no. 4, p. 109, Mar. 2021, doi: 10.3390/a14040109.
- [26] S. Soltani, H. Pakniat, and N. Yasrebi, “A wide stopband, high selectivity microstrip low-pass filter for wireless communications,” *AEU - International Journal of Electronics and Communications*, vol. 185, p. 155443, Oct. 2024, doi: 10.1016/j.aeue.2024.155443.
- [27] P. S. Tomar and M. S. Parihar, “The Design and Investigation of the Low-Pass Filter with High Selectivity and Ultra-Wide Stopband,” *IETE J Res*, vol. 70, no. 3, pp. 2366–2371, Mar. 2024, doi: 10.1080/03772063.2023.2185303.
- [28] S. Yildiz, A. Aksen, S. Kilinc, and S. B. Yarman, “Low pass filter design with improved stop-band suppression and synthesis with transformer-free ladders,” *IET Circuits, Devices & Systems*, vol. 15, no. 6, pp. 504–510, Sep. 2021, doi: 10.1049/cds2.12045.
- [29] E. J. Armando, D. Hanyurwimfura, O. Gatera, and A. Nduwumuremyi, “Enhancing Agricultural Internet of Things Data Accuracy: Evaluating Kalman Filter-Based Sensor Denoising Techniques,” *Journal of Biosystems Engineering*, vol. 50, no. 1, pp. 47–58, Mar. 2025, doi: 10.1007/s42853-025-00252-5.
- [30] B. Satria and M. Debora Br Barus, “Implementation of Angklung Beat Density With Arduino and Piezoelectric Sensor Using Kalman Filter Applied for Reduce Noise Sensor,” *Technology and Social Sciencesinjekts*, vol. 3, pp. 346–5, Oct. 2022.
- [31] D. Sbarbaro, T. A. Johansen, and J. Yañez, “Adaptive Kalman Filtering for Compensating External Effects in On-Line Spectroscopic Measurements,” *Sensors*, vol. 25, no. 8, p. 2513, Apr. 2025, doi: 10.3390/s25082513.